Hémopathies associées à un réarrangement de *FGFR1* chez un même patient Discussion autour d'un cas

Journée du GFCH – 05/11/2020 Giulia TUEUR – AHU, Hôpital Saint-Louis





Cas clinique

Homme, 69 ans

ATCD:

- Hyper-uricémie responsable de goutte depuis quelques années
- Fibrillation auriculaire ralentie et anti-coagulée
- Diabète de type 2, compliqué de cataracte bilatérale, équilibré sous régime seul
- Dyslipidémie

Histoire de la maladie :

- Décembre 2018 : Colite infectieuse, AEG (perte de 10 kg en 1 mois)
- Découverte SMP et SLP

Cas clinique

Homme, 69 ans

ATCD:

- Hyper-uricémie responsable de goutte depuis quelques années
- Fibrillation auriculaire ralentie et anti-coagulée
- Diabète de type 2, compliqué de cataracte bilatérale, équilibré sous régime seul
- Dyslipidémie

Histoire de la maladie :

- Décembre 2018 : Colite infectieuse, AEG (perte de 10 kg en 1 mois)
- Découverte SMP et SLP

	12/2018
GB (G/L)	62
Hb (g/dL)	12,6
Plq (G/L)	100
PNN (G/L)	21,1
Ly (G/L)	13,6
Mono (G/L)	6,8
PNE (G/L)	2,5
Myélémie	28% (équilibrée)

Hyperleucocytose

Polynucléose neutrophile Myélémie Monocytose Hyperéosinophilie Lymphocytose

Anémie modérée

Thrombopénie

Cas clinique

Homme, 69 ans

ATCD:

- Hyper-uricémie responsable de goutte depuis quelques années
- Fibrillation auriculaire ralentie et anti-coagulée
- Diabète de type 2, compliqué de cataracte bilatérale, équilibré sous régime seul
- Dyslipidémie

Histoire de la maladie :

- Décembre 2018 : Colite infectieuse, AEG (perte de 10 kg en 1 mois)
- Découverte SMP et SLP

	05/2017	06/2018	12/2018	
GB (G/L)	7,6	11	62	
Hb (g/dL)			12,6	
Plq (G/L)			100	
PNN (G/L)			21,1	
Ly (G/L)	5,27	8,2	13,6	
Mono (G/L)			6,8	
PNE (G/L)			2,5	
Myélémie			28% (équilibrée)	

Cas clinique: Myélogramme, CMF (29/01/2019)

• Myélogramme :

Moelle très riche, sans excès de blastes.

Hyperplasie de la lignée granuleuse, discret excès des éléments les plus immatures.

Hypo-granulation de certains PNN.

Discrète monocytose.

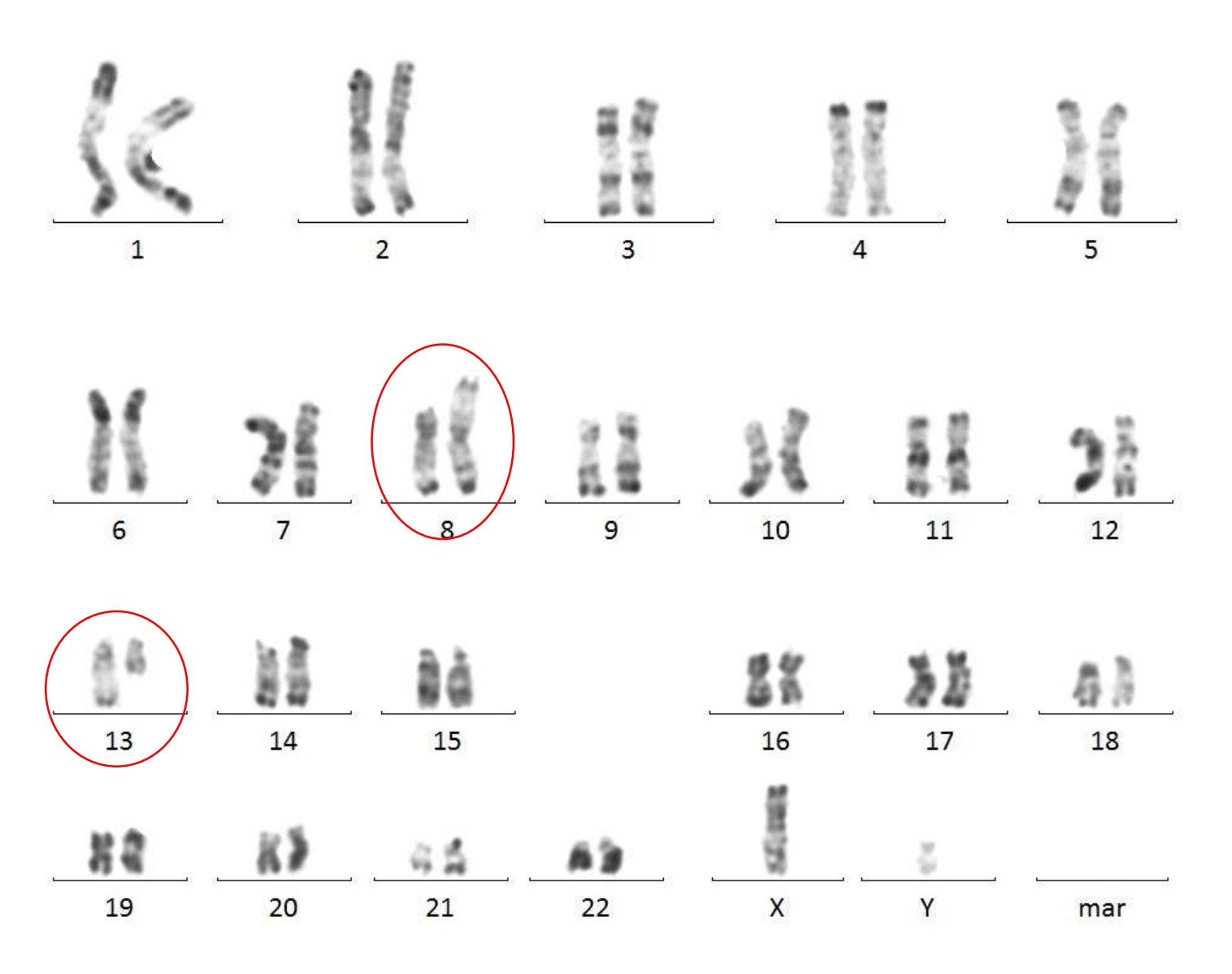
• CMF Lymphocytes sanguins :

Hyperlymphocytose B, Matutes $5/5 \rightarrow LLC$

• CMF Monocytes sanguins:

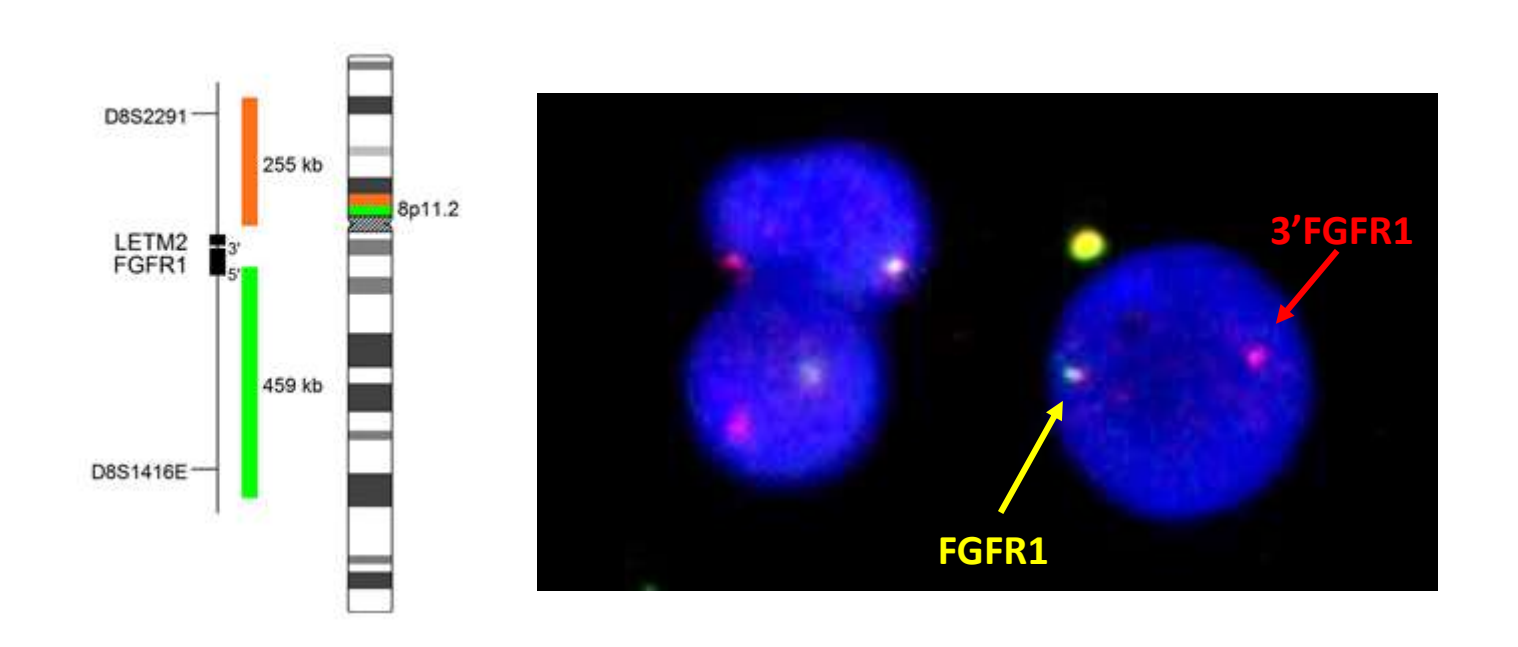
Répartition équilibrée des monocytes

Cytogénétique (29/01/2019): Caryotype 17/24h



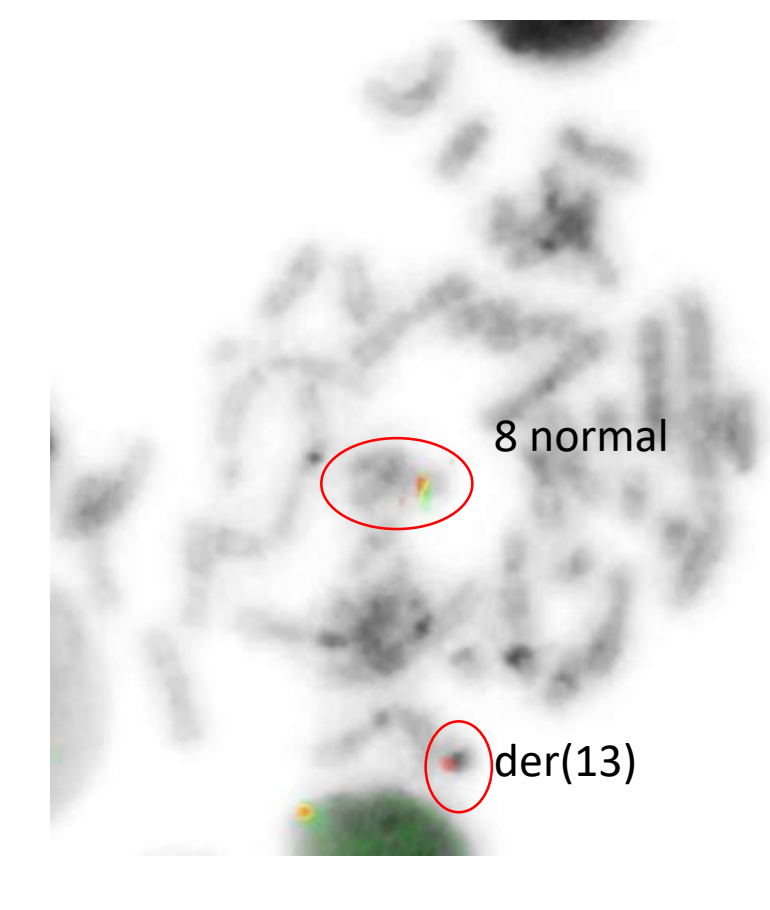
46,XY,t(8;13)(p1?1;q1?2)[23]/47,sl,+15[2]/46,XY[3]

Cytogénétique (29/01/2019): FISH FGFR1



Réarrangement de FGFR1

- Perte de la partie 5' centromérique de FGFR1 (sur le dérivé 8)
- Translocation de la partie 3' télomérique de FGFR1 sur le dérivé 13



Biologie moléculaire

- Absence de transcrit BCR-ABL1
- Absence de mutation de CALR, JAK2
- Absence de mutation ou duplication de *FLT3*
- Absence de mutation de CEBPA, NPM1, IDH1 et IDH2
- Absence de surexpression *MECOM*
- Présence du transcrit de fusion ZMYM2-FGFR1

- Cytoréduction initiale par Hydrea
- 11/02/2019 : Inclusion protocole de traitement par Pemigatinib (inhibiteur de FGFR1)
- Evolution à M3 du Pemigatinib :

	05/2017	06/2018	12/2018	27/05/2019
GB (G/L)	7,6	11	62	11
Hb (g/dL)			12,6	10,2
Plq (G/L)			100	323
PNN (G/L)			21,1	3,29
Ly (G/L)	5,27	8,2	13,6	6,7
Mono (G/L)			6,8	0,45
PNE (G/L)			2,5	0,05
Myélémie			28% (équilibrée)	-

- Cytoréduction initiale par Hydrea
- 11/02/2019 : Inclusion protocole de traitement par Pemigatinib (inhibiteur de FGFR1)
- Evolution à M3 du Pemigatinib :

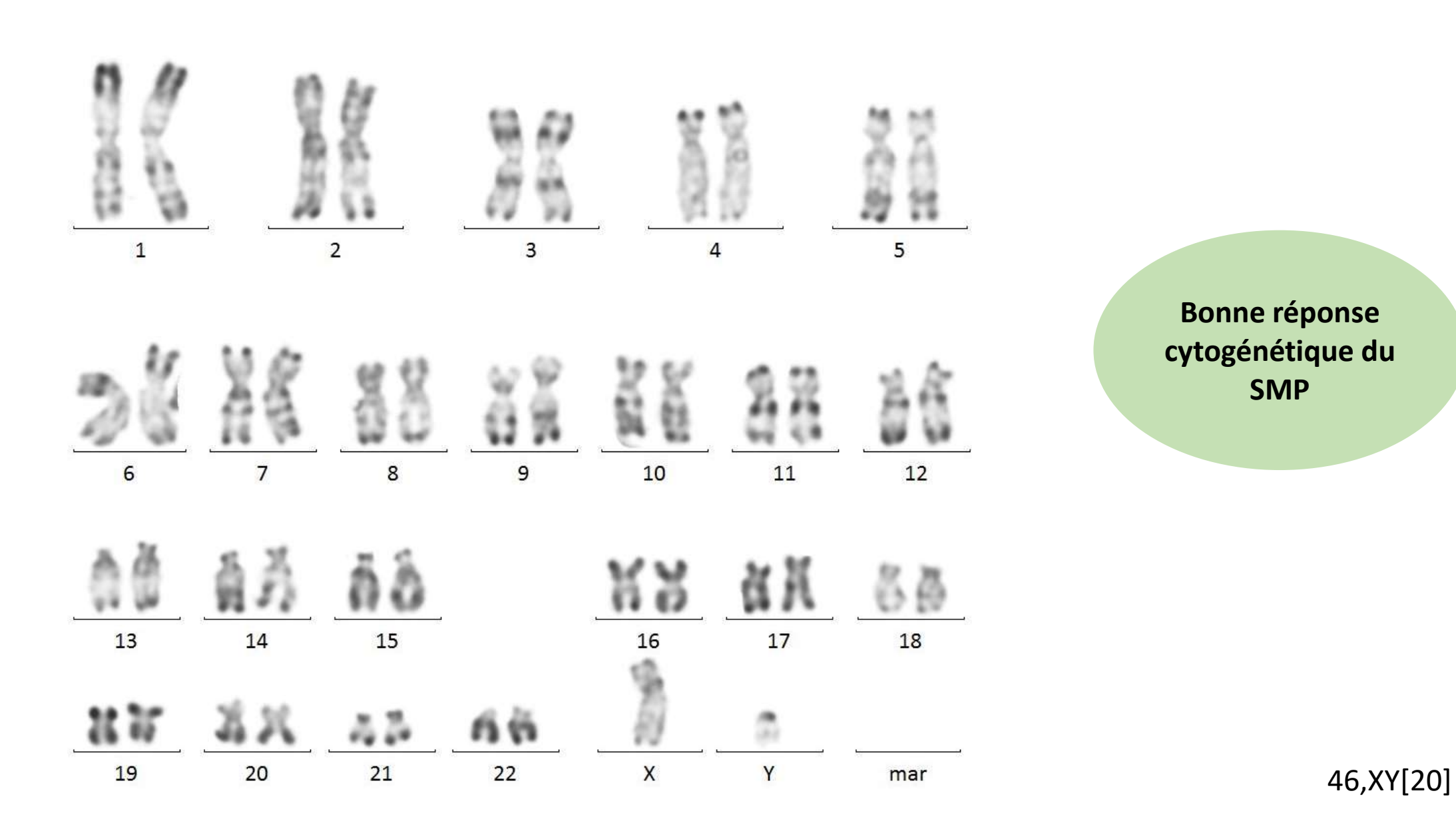
	05/2017	06/2018	12/2018	27/05/2019
GB (G/L)	7,6	11	62	11
Hb (g/dL)			12,6	10,2
Plq (G/L)			100	323
PNN (G/L)			21,1	3,29
Ly (G/L)	5,27	8,2	13,6	6,7
Mono (G/L)			6,8	0,45
PNE (G/L)			2,5	0,05
Myélémie			28% (équilibrée)	-

Bonne réponse hématologique du SMP

Persistance de la LLC

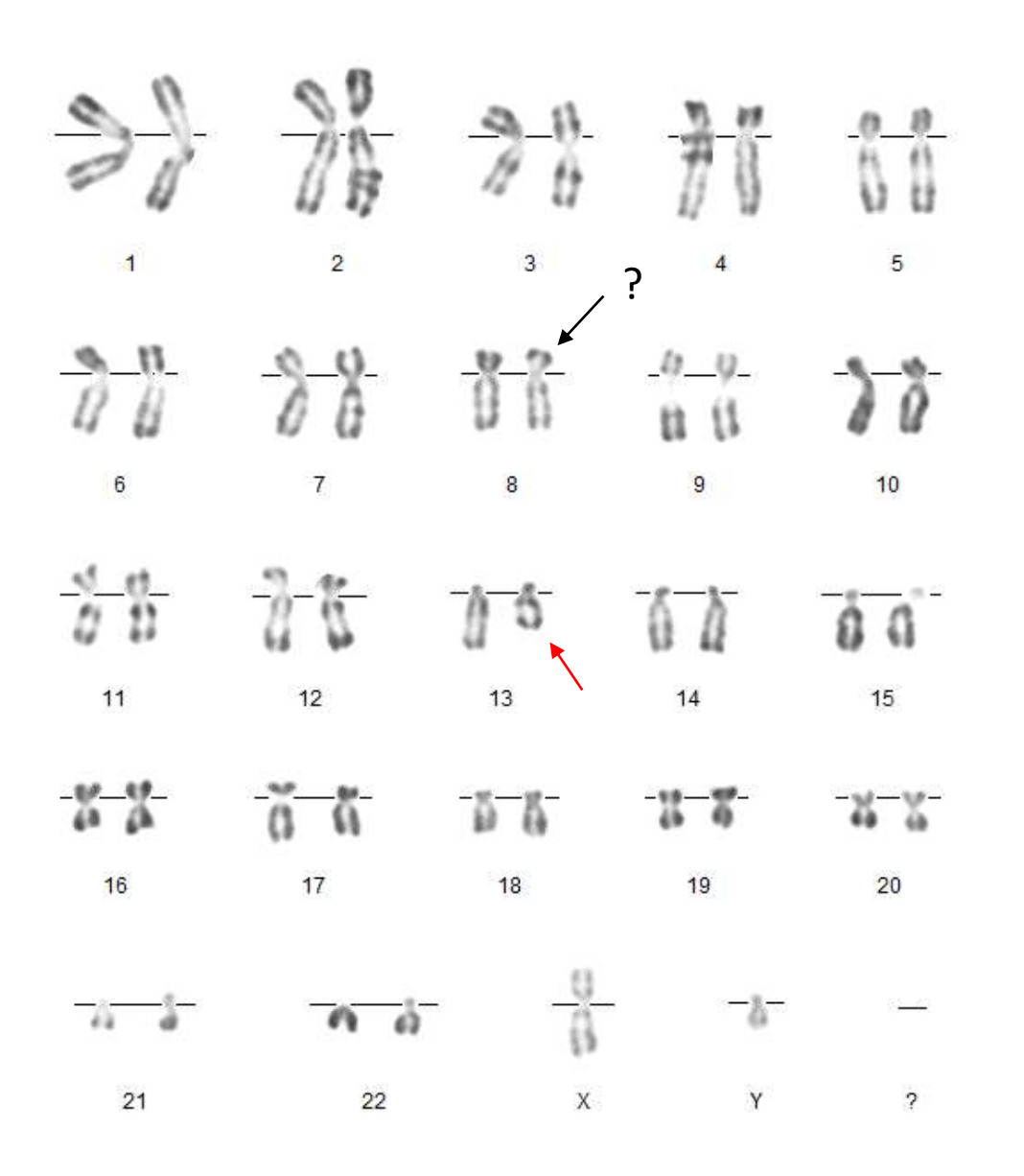
- Myélogramme (27/05/19) :
- Moelle de richesse normale, équilibrée, sans excès de blastes.
- Précurseurs plaquettaires normalement représentés.
- Infiltration lymphocytaire (30%) en rapport avec sa LLC connue.
- Persistance des anomalies de la lignée granuleuse (dégranulation, persistance de la basophilie).

Cytogénétique (27/05/2019) : Caryotype médullaire myéloïde, 17/24h



Cytogénétique (27/05/2019) : Caryotype sanguin, 72h+DSP30+IL2

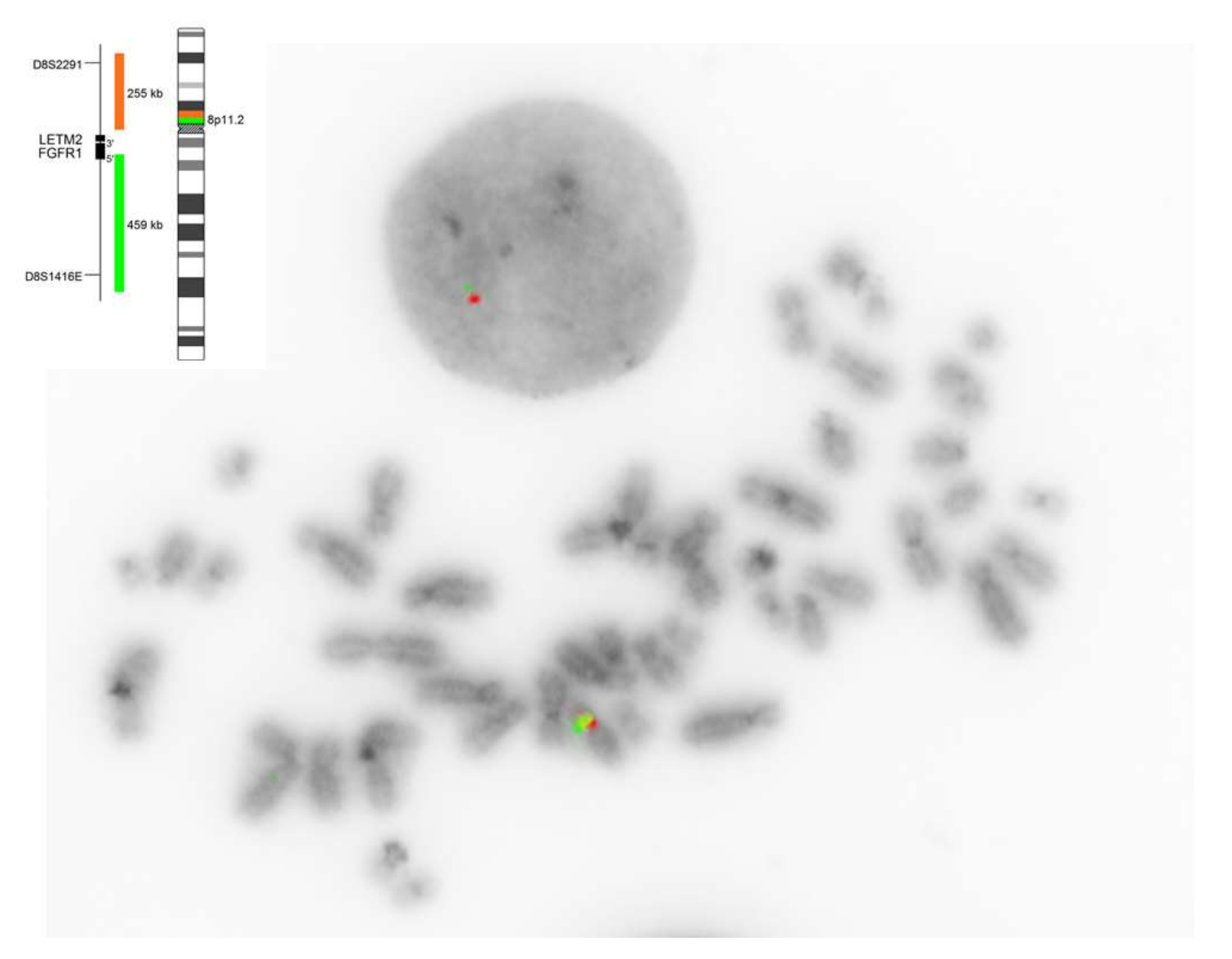
LABORATOIRE de cytogénétique-hôpital Avicenne

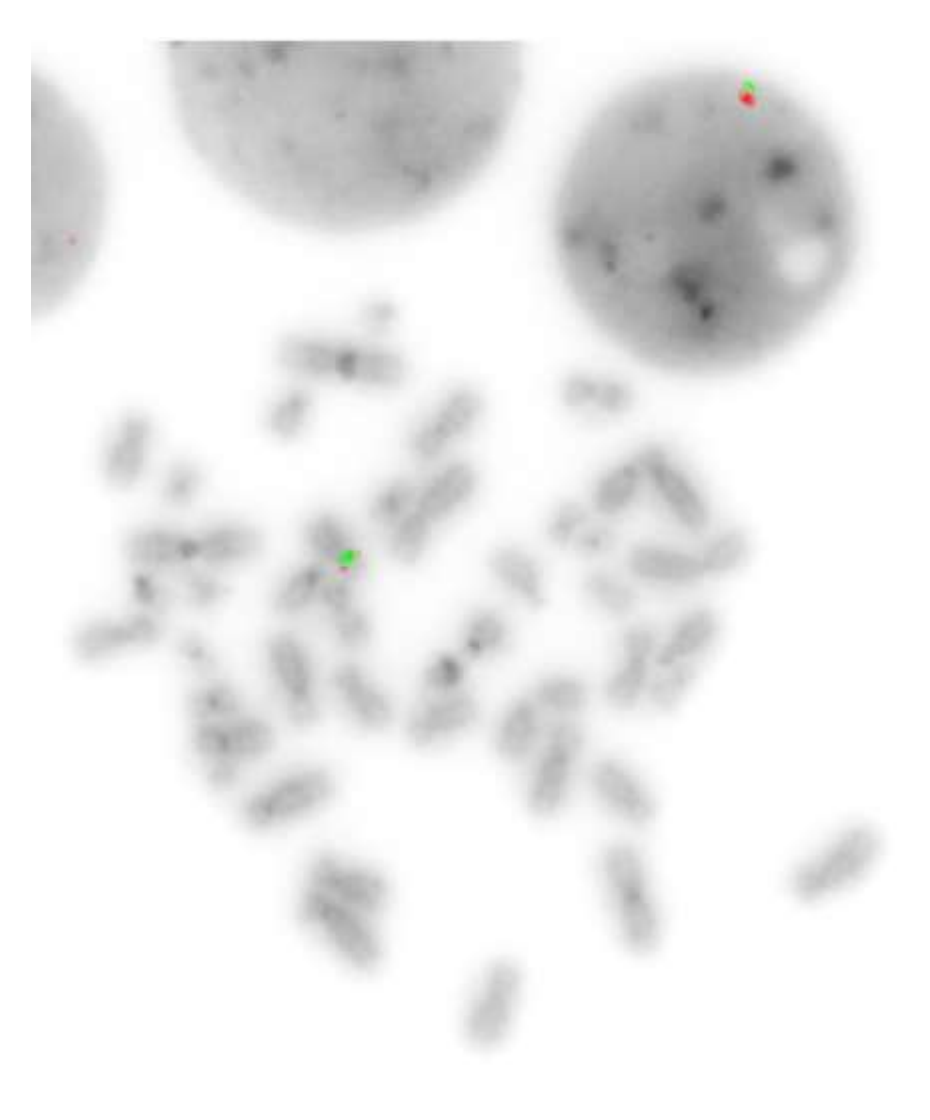


Persistance de la LLC

46,XY,del(13)(q13q22)[14]/46,XY[9]

Cytogénétique (27/05/2019) : FISH sur culot 72h+DSP30-IL2





Cytogénétique (27/05/2019): FISH sur culot 72h+DSP30-IL2

• Absence de délétion des loci 11q22 (ATM) et 17p13 (TP53).

• FGFR1 : Perte d'un signal de FGFR1

Evolution

• 12/06/20:

Réponse hématologique et cytogénétique depuis mars 2019.

Persistance de la LLC.

6,7	05/2017	06/2018	12/2018	27/05/2019	12/06/20
GB (G/L)	7,6	11	62	11	17
Hb (g/dL)			12,6	10,2	14,6
Plq (G/L)			100	323	115
PNN (G/L)			21,1	3,29	2,21
Ly (G/L)	5,27	8,2	13,6	6,7	14,5
Mono (G/L)			6,8	0,45	0,34
PNE (G/L)			2,5	0,05	0
Myélémie			28% (équilibrée)	-	-

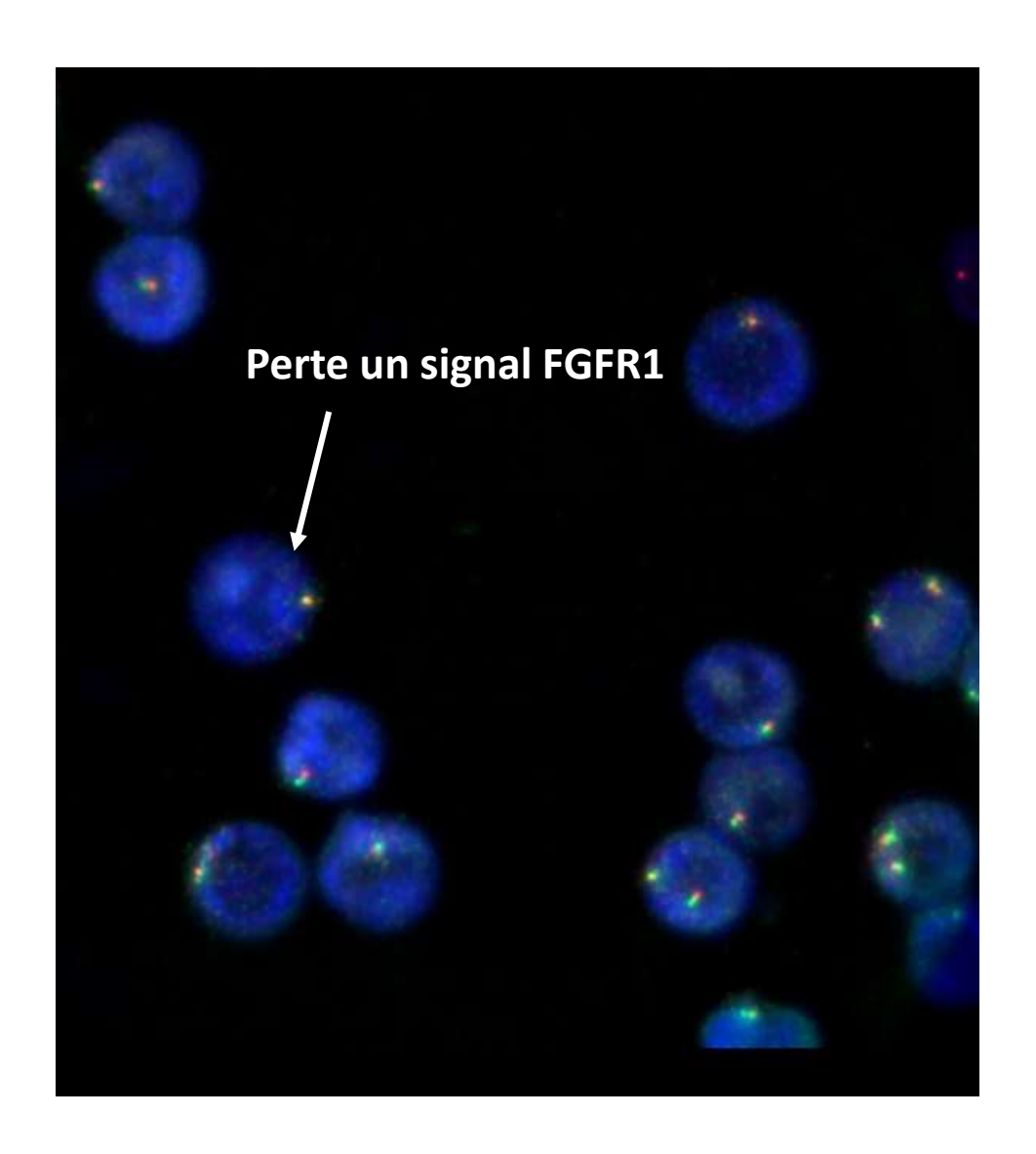
- Myélogramme (12/06/2020) :
- Moelle de richesse moyenne, avec de rares mégacaryocytes.
- Présence de nombreux lymphocytes matures (42%) en rapport avec une infiltration médullaire de sa LLC connue.
- Persistance de rares PNN dégranulés.

Suivi cytogénétique : 12/06/2020

- Caryotype: Normal (culture myéloïde 17/24h)
- FISH FGFR1:
- Absence de réarrangement de FGFR1
- Perte d'un signal de FGFR1 dans 30% des noyaux

Lymphocytes de LLC?

= Profil de FISH correspondant au résultat obtenu en avril 2019



Conclusion cas clinique

Patient avec 2 néoplasies <u>myéloïde</u> et <u>lymphoïde</u> impliquant *FGFR1* + anomalie du chromosome 13

SMP

- t(8;13)(p11;q12) avec réarrangement atypique de *FGFR1*
- Transcrit de fusion FGFR1-ZMYM2

Réponse au traitement anti-FGFR1

LLC

- Absence de réarrangement de FGFR1
- Perte mono-allélique *FGFR1* + délétion 13q

Absence de réponse voire expansion de la maladie sous traitement anti-FGFR1

Conclusion cas clinique

Patient avec 2 néoplasies <u>myéloïde</u> et <u>lymphoïde</u> impliquant *FGFR1* + anomalie du chromosome 13

SMP

- t(8;13)(p11;q12) avec réarrangement atypique de *FGFR1*
- Transcrit de fusion FGFR1-ZMYM2

Réponse au traitement anti-FGFR1

LLC

- Absence de réarrangement de FGFR1
- Perte mono-allélique *FGFR1* + délétion 13q

Absence de réponse voire expansion de la maladie sous traitement anti-FGFR1



Lien entre les deux pathologies ?

Anomalie de la CSH?

Quelle anomalie est survenue en premier ?

Néoplasies myéloïdes/lymphoïdes avec réarrangement de FGFR1 : revue bibliographique

LEUKEMIA & LYMPHOMA 2018, VOL. 59, NO. 7, 1672-1676 https://doi.org/10.1080/10428194.2017.1397663



ORIGINAL ARTICLE: RESEARCH



Myeloid/lymphoid neoplasms with FGFR1 rearrangement

Paolo Strati^a, Guilin Tang^b, Dzifa Y. Duose^c, Saradhi Mallampati^b, Rajyalakshmi Luthra^b, Keyur P. Patel^b, Mohammad Hussaini^c, Abu-Sayeef Mirza^c, Rami S. Komrokji^c, Stephen Oh^d, John Mascarenhas^e, Vesna Najfeld^f, Vivek Subbiah^g (ii), Hagop Kantarjian^a, Guillermo Garcia-Manero^a, Srdan Verstovsek^a and Naval Daver

^aDepartment of Leukemia, The University of Texas MD Anderson Cancer Center, Houston, TX, USA; ^bDepartment of Hematopathology The University of Texas MD Anderson Cancer Center, Houston, TX, USA; Department of Malignant Hematology, H Lee Moffitt Cancer Center & Research Institute, Tampa, FL, USA; dDepartment of Hematology, Washington University School of Medicine, St Louis, MO, USA; Department of Hematology/Oncology, Icahn School of Medicine at Mount Sinai, New York, NY, USA; Department of Pathology Icahn School of Medicine at Mount Sinai, New York, NY, USA; 9Department of Investigational Therapeutics, The University of Texas MD Anderson Cancer Center, Houston, TX, USA

LEUKEMIA & LYMPHOMA 2018, VOL. 59, NO. 7, 1520-1522 https://doi.org/10.1080/10428194.2018.1429607





17 patients avec

réarrangement de

FGFR1

COMMENTARY

FGFR1 rearranged hematological neoplasms – molecularly defined and clinically heterogeneous

Mrinal M. Patnaik^a (D), Rhett P. Ketterling^b and Ayalew Tefferi^a

^aDepartment of Internal Medicine, Mayo Clinic, MN, USA; ^bDepartment of Laboratory Medicine and Pathology, Mayo Clinic, MN, USA

Revue bibliographique des cas publiés

65 cas

Néoplasies myéloïdes/lymphoïdes avec réarrangement de FGFR1 : revue bibliographique

LEUKEMIA & LYMPHOMA 2018, VOL. 59, NO. 7, 1672-1676 https://doi.org/10.1080/10428194.2017.1397663



ORIGINAL ARTICLE: RESEARCH



Myeloid/lymphoid neoplasms with FGFR1 rearrangement

Paolo Strati^a, Guilin Tang^b, Dzifa Y. Duose^c, Saradhi Mallampati^b, Rajyalakshmi Luthra^b, Keyur P. Patel^b, Mohammad Hussaini^c, Abu-Sayeef Mirza^c, Rami S. Komrokji^c, Stephen Oh^d, John Mascarenhas^e, Vesna Najfeld^f, Vivek Subbiah^g , Hagop Kantarjian^a, Guillermo Garcia-Manero^a, Srdan Verstovsek^a and Naval Davera

^aDepartment of Leukemia, The University of Texas MD Anderson Cancer Center, Houston, TX, USA; ^bDepartment of Hematopathology The University of Texas MD Anderson Cancer Center, Houston, TX, USA; 'Department of Malignant Hematology, H Lee Moffitt Cancer Center & Research Institute, Tampa, FL, USA: Department of Hematology, Washington University School of Medicine, St Louis, MO, USA; *Department of Hematology/Oncology, Icahn School of Medicine at Mount Sinai, New York, NY, USA; *Department of Pathology Icahn School of Medicine at Mount Sinai, New York, NY, USA; 9Department of Investigational Therapeutics, The University of Texas MD Anderson Cancer Center, Houston, TX, USA

LEUKEMIA & LYMPHOMA 2018, VOL. 59, NO. 7, 1520-1522 https://doi.org/10.1080/10428194.2018.1429607



Check for updates

Table 2. Treatment characteristics.

Diagnosis	Karyotype		
AML	46,XY,t(8;9)(p21;p22) [19]		
AML	46,XX,t(8;22)(p11.2; q11.2) [20]		
B-ALL	46,XY,t(8;13)(p12;q11.2) [20]		
B-ALL	$47 \sim 48,XX, +der(8)r(8;?)(p21.1q13;?),$		
	+der(8)[cp18]/46,XX[2]		
B-ALL	46,XX,t(8;22)(p11;q11)[5]/		
	80 ~ 83,XXXX,del(1)(p22p36),		
	+del(1)(p22p36), -3,-4,-		
	8,t(8;22)(p11;q11)x2,-9,-9,-		
	9,i(9)(q10),-11,-16,-18,-20,-21[cp15]		
Biphenotypic-AL	46,XY,t(8;13)(p11.2;q12)[6]/		
and the second s	47,idem,+21[2]/46,XY[12]		
CEL	46,XX,t(6;8)(q27;p11.23)[20]		
CEL	46,XY,t(8;9)(p11.2;q33)[20]		
MPN	46,XX,t(8;22)(p21;q13)[20]		
MPN	46,XX,t(6;8)(q27;p11.23)[20]		
MPN and B-ALL	46,XX,t(8;22)(p11.2;q11.2)[20]		
MPN and B-ALL	46,XX,t(8;22)(p11.2;q11.2)[7]/46,XX[13]		
MPN and T-LL	46,XX,t(8;13)(p11.2;q12)[15]/46,XY[5]		
MPN and T-LL	46,XY,t(8;13)(p11.2;q12)[19]/46,XY[1]		
MPN and T-LL	46,XY,t(8;13)(p11.2;q12)[15]/		
	47,idem,+21[3]/46,XY[2]		
MPN and T-LL	46,XY,t(8;13)(p12;q11.2)[20]		
T-LL	46,XX,t(8;13)(p12;q11.2)[20]		

NPM IA + NPM

COMMENTARY



FGFR1 rearranged hematological neoplasms – molecularly defined and clinically heterogeneous

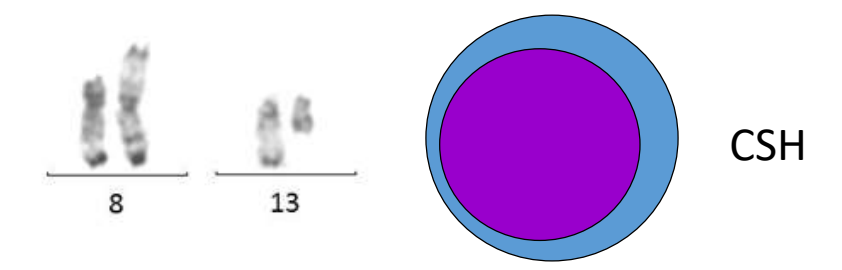
Mrinal M. Patnaik^a (D), Rhett P. Ketterling^b and Ayalew Tefferi^a

^aDepartment of Internal Medicine, Mayo Clinic, MN, USA; ^bDepartment of Laboratory Medicine and Pathology, Mayo Clinic, MN, USA

0 cas de LLC

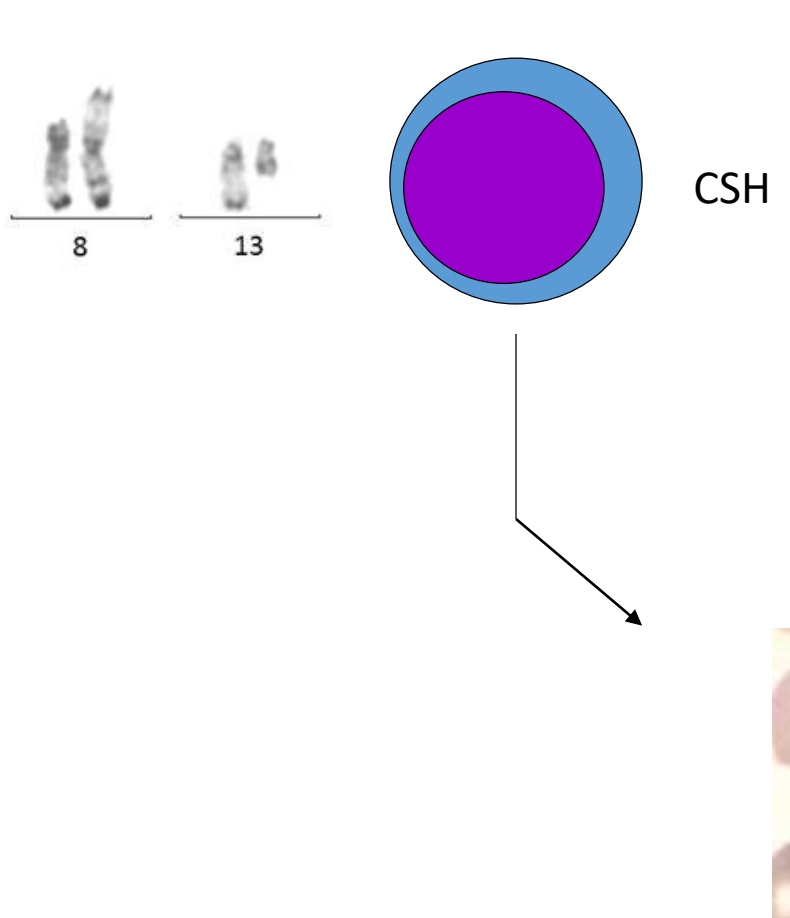


t(8;13)(p11;q12) initiale dans la CSH

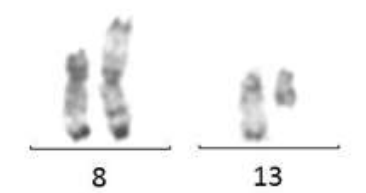




t(8;13)(p11;q12) initiale dans la CSH

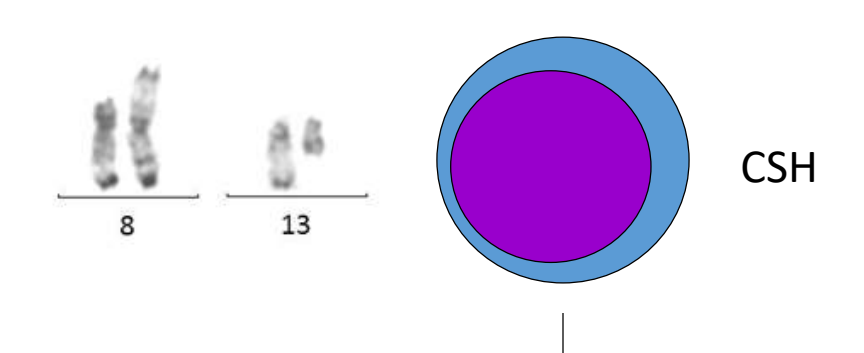




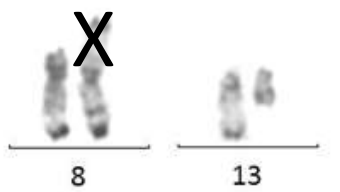


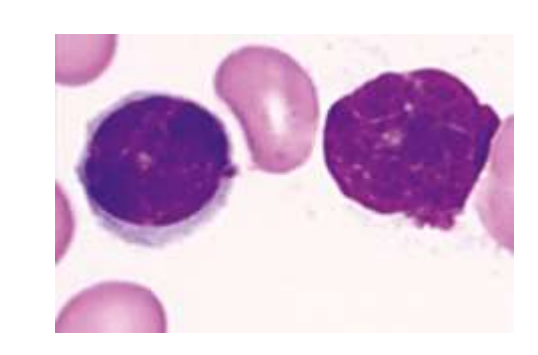


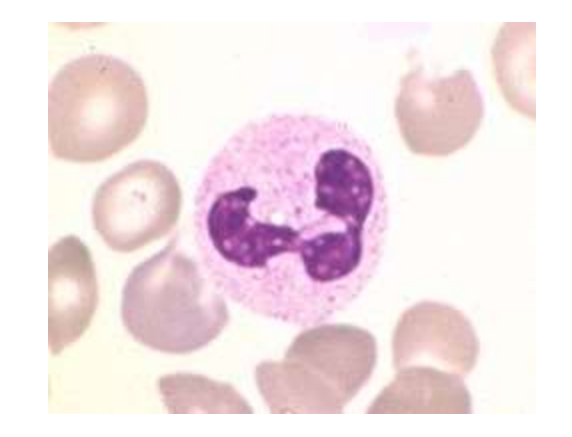
t(8;13)(p11;q12) initiale dans la CSH puis remaniement du der(8) entrainant une del(13)q dans les lymphocytes

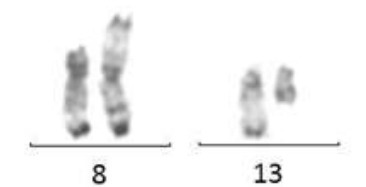


Remaniement du der(8) entrainant une del(13)q dans les lymphocytes



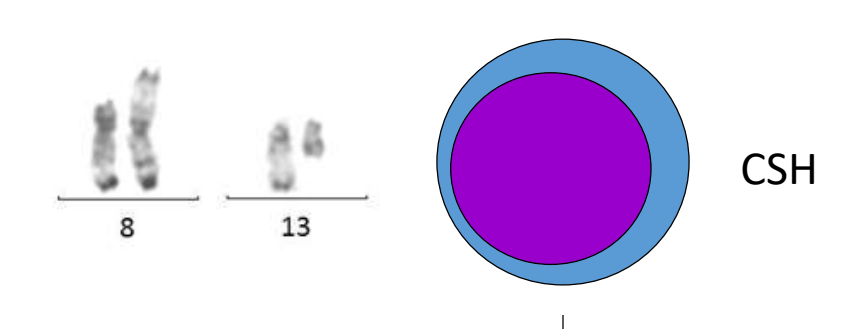




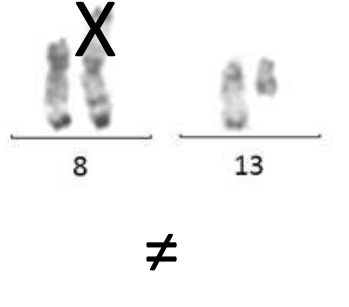


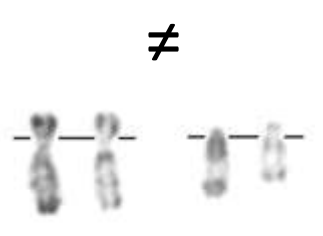


t(8;13)(p11;q12) initiale dans la CSH puis remaniement du der(8) entrainant une del(13)q dans les lymphocytes

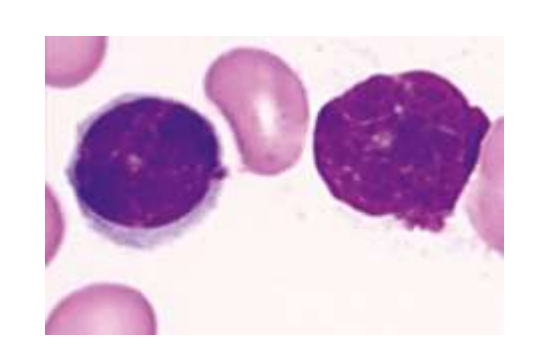


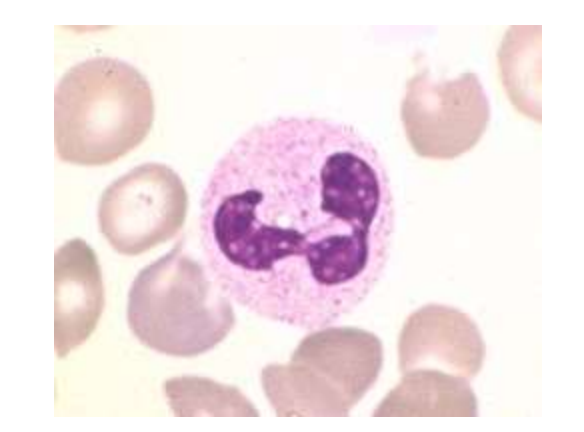
Remaniement du der(8) entrainant une del(13)q dans les lymphocytes

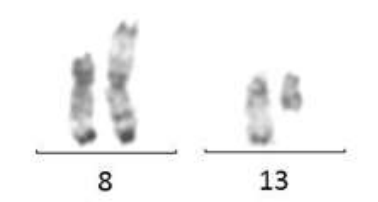




13

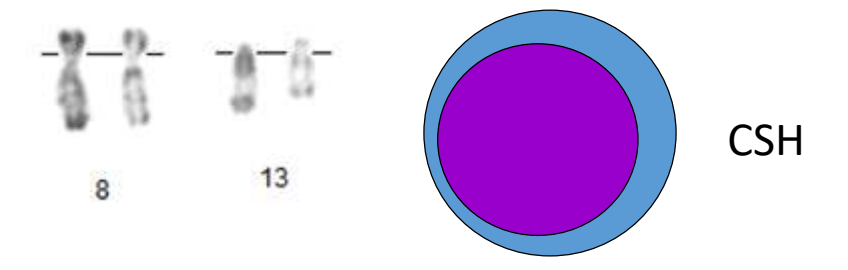






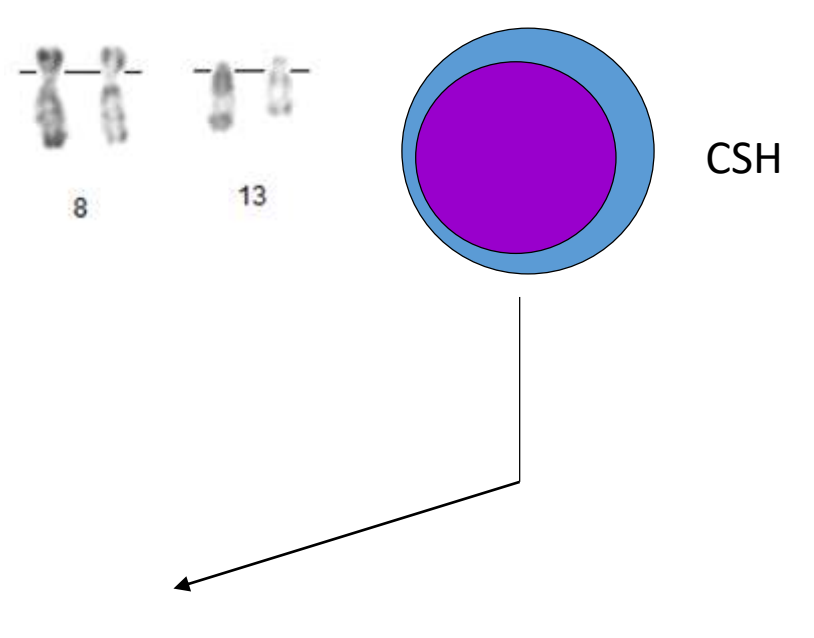


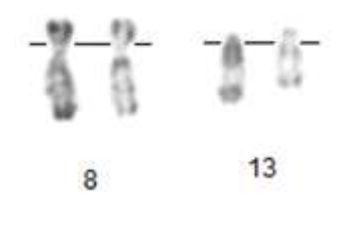
del(13)q initiale dans la CSH

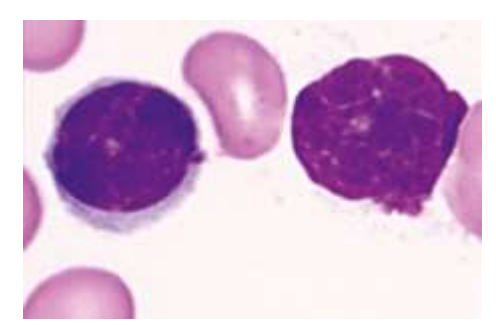


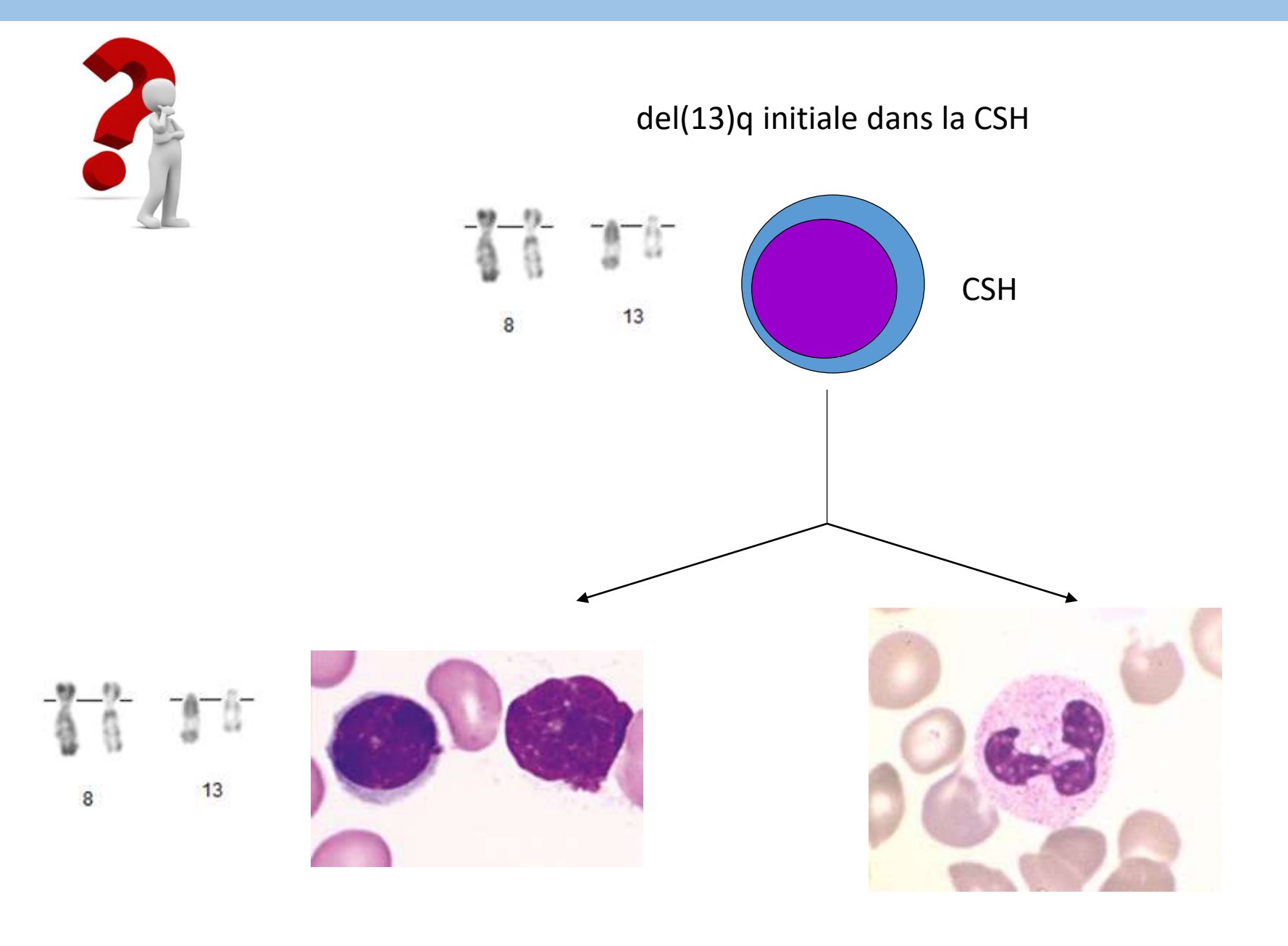


del(13)q initiale dans la CSH

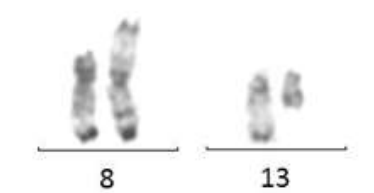


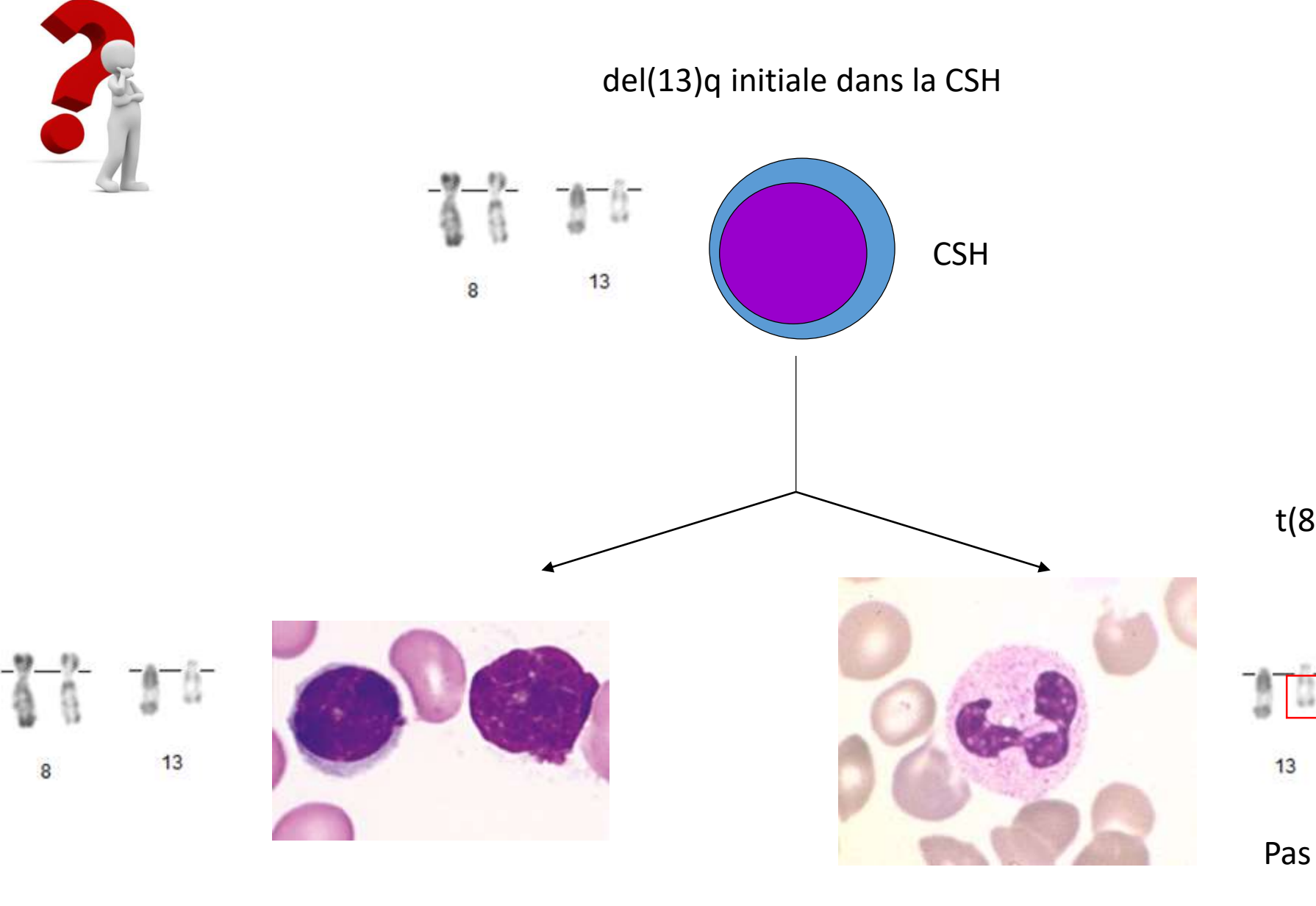




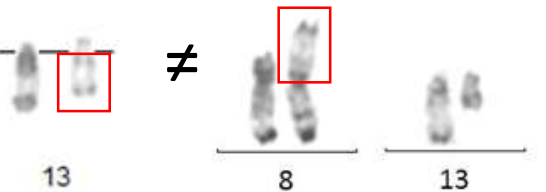


t(8;13) secondaire dans les cellules myéloïdes





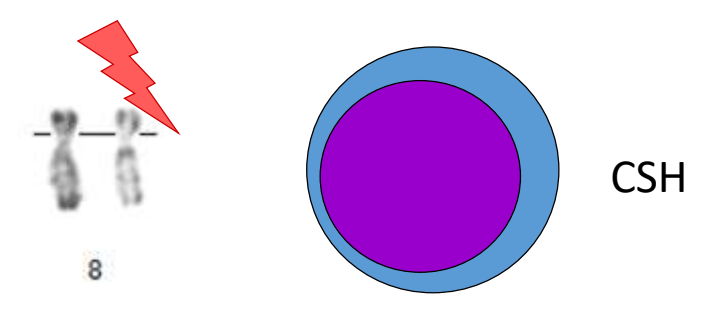
t(8;13) secondaire dans les cellules myéloïdes



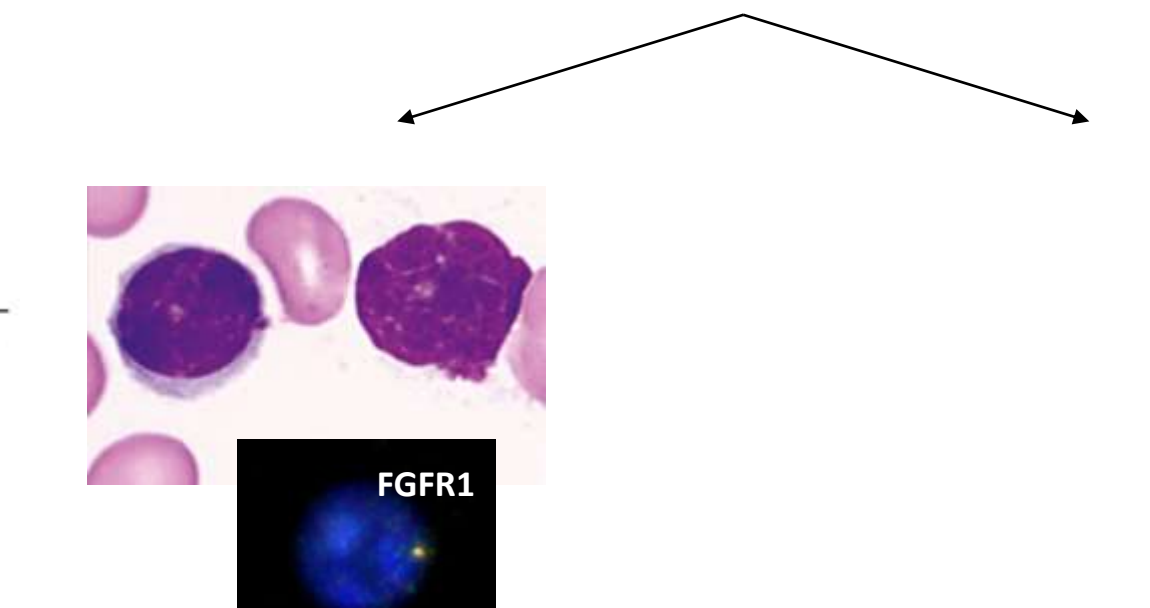
Pas de del(13)q identifiée au diagnostic en FISH



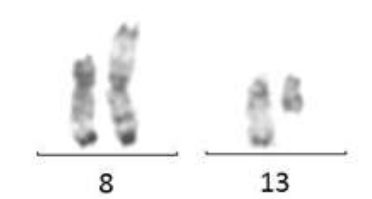
Anomalie du 8p en lien avec une fragilité = point commun initiateur ?



Anomalies différentes entre le clone myéloïde et le clone lymphoïde mais communes aux 2 pathologies (et pas observées dans les LLC habituellement).







Discussion et conclusion



Hypothèses mécanistiques ?

Cas similaires?